

## Концентрація напружень в елементах мікроструктури в'язкопружних композитних матеріалів

Я. Г. Ляшенко

Інститут механіки ім. С. П. Тимошенка НАН України, Київ, Україна

*Наведено розв'язок задачі щодо оцінки концентрації напружень у компонентах (матриця і включення) багатокомпонентного в'язкопружного композитного матеріалу в залежності від форми включень, властивостей матриці й усього композита. Матеріал матриці є ізотропним та в'язкопружним. Розглядається широкий діапазон властивостей включень (наприклад, пор, твердих та в'язких частинок). Для розв'язку даної задачі використовується метод інтегральних перетворень.*

**Ключові слова:** композитний матеріал, концентрація напружень, середні напруження, в'язкопружна матриця, включення.

Розвиток техніки потребує розробки нових інженерних конструкцій, механізмів і машин різного призначення, що, в свою чергу, вимагає використання матеріалів із властивостями, які відсутні у традиційних металах і сплавах. Необхідно розробляти такі композитні матеріали, в яких потрібні властивості синтезуються за рахунок підбору відповідних компонентів і управління їх взаємним розміщенням. Для багатьох із цих матеріалів характерні в тій чи іншій мірі реономні властивості. Проблемам концентрації напружень у в'язкопружних тілах присвячене незначне число публікацій [1, 2]. Достеменно вивчалась поведінка композитного матеріалу з пружною матрицею [3–6]. У багатьох роботах досліджувалася концентрація середніх напружень у в'язкопружних композитах, які склалися з двох компонент [7]. Нижче наведено розв'язок задачі про визначення концентрації середніх напружень у компонентах (матриця і включення) багатокомпонентного в'язкопружного композитного матеріалу.

Умови експлуатації композитних матеріалів характеризуються високими рівнями зовнішніх навантажень, температур, електричних і магнітних полів. Лінійність співвідношень між динамічними і кінетичними параметрами, що описують поведінку матеріалів у таких умовах, може порушуватися, а використання лінійної теорії деформування призводить до значних похибок. Такі чинники особливо притаманні композитам із в'язкопружною металічною та полімерною матрицею, що все більше застосовуються в елементах сучасних конструкцій. Нелінійність деформування [8, 9] матриці істотно впливає на перерозподіл напружень по компонентах матеріалу.

Розглянемо в'язкопружне деформування матриці, що описується співвідношеннями

$$\varepsilon_{ij} = \xi_{ij\alpha\beta} \sigma_{\alpha\beta} + A_{2\hat{\sigma}}^{\alpha} \eta_{ij\alpha\beta} \sigma_{\alpha\beta}, \quad (1)$$

де

$$A_{2\hat{\sigma}} = \hat{\sigma}_{ij} \hat{\sigma}_{ij} = \sigma_{ij} \sigma_{ij} - \frac{1}{3} \sigma_{pp}^2;$$

$$\eta_{ij\alpha\beta} = rD_{ij\alpha\beta} = r \frac{1}{2} (\delta_{i\alpha} \delta_{j\beta} + \delta_{j\beta} \delta_{i\alpha} - \frac{1}{3} \delta_{ij} \delta_{\alpha\beta}); \quad \xi_{ij\alpha\beta} = p\delta_{ij} \delta_{\alpha\beta} + 2qI_{ij\alpha\beta};$$

$$p = -\frac{\nu}{E}; \quad q = \frac{1+\nu}{E}; \quad \alpha = \frac{N-1}{2}; \quad (2)$$

$E, \nu, r, N$  – інтегральні оператори в'язкопружного деформування з дробово-експоненціальними ядрами Работнова, які наближено можна представити таким чином:

$$\tilde{\Xi}_\alpha(\beta) \cdot 1 = -\frac{1}{\beta} [1 - \exp(\gamma\beta t^{1+\alpha})]; \quad \gamma = (1+\alpha)^{1+\alpha}.$$

Тоді операторний модуль Юнга має наступний вигляд:

$$E = E_e(1 - \xi \tilde{\Xi}_\alpha(\beta)).$$

У даних формулах:  $t$  – час;  $\xi, \alpha, \beta$  – параметри повзучості [10].

Оскільки рівняння (1) є суттєво нелінійними і їх обернення до співвідношень напруження–швидкості деформацій призведе до втрати точності, скористаємося рівняннями сумісності деформацій:

$$e_{ikp} e_{jmq} \varepsilon_{pq,km} = 0 \quad (3)$$

або

$$e_{ikp} e_{jmq} \langle \xi_{pq\alpha\beta} \rangle \sigma'_{\alpha\beta,km} = -e_{ikp} e_{jmq} [\xi'_{pq\alpha\beta} \sigma_{\alpha\beta} + A_{2\sigma}^\alpha(\sigma) \eta_{pq\alpha\beta} \sigma_{\alpha\beta}],_{km}, \quad (4)$$

причому в силу виконання стохастичних рівнянь рівноваги в представницькому об'ємі  $V$  отримаємо

$$\sigma'_{ij,i} = 0, \quad x \in V. \quad (5)$$

Функцію Гріна рівнянь (4) знайдемо з системи

$$\begin{cases} e_{ikp} e_{jmq} \langle \xi_{pq\alpha\beta} \rangle G_{\alpha\beta rs,km} = -I_{ijrs} \delta(\vec{x}); \\ G_{\alpha\beta rs,\alpha} = 0. \end{cases} \quad (6)$$

Одиничний тензор четвертого рангу  $I_{ijrs}$  розкладемо на потенціальну і бівіхреву частини [10]. За допомогою перетворення Фур'є отримаємо

$$k_k k_m e_{ikp} e_{jmq} \langle \xi_{pq\alpha\beta} \rangle \hat{G}_{\alpha\beta rs}(k) =$$

$$= \frac{1}{2} [(\delta_{ir} - \gamma_{ir})(\delta_{js} - \gamma_{js}) + (\delta_{jr} + \gamma_{jr})(\delta_{is} + \gamma_{is})]; \quad (7)$$

$$\gamma_j = \frac{k_j}{k}; \quad k = |\vec{k}|.$$

Враховуючи, що для ізотропного середовища тензор  $\xi_{ij\alpha\beta}$  заданий у формулах (2), отримаємо

$$e_{ikp}e_{jmq} \langle \xi_{pq\alpha\beta} \rangle = \langle p \rangle \delta_{\alpha\beta} (\delta_{ij}\delta_{km} - \delta_{kj}\delta_{im}) + 2 \langle q \rangle e_{ika}e_{jmb}. \quad (8)$$

Підставимо (8) в (7) і після деяких перетворень знайдемо Фур'є-образ тензорної функції Гріна  $G_{ij\alpha\beta}$ :

$$\hat{G}_{ijrs}(k) = \frac{1}{4 \langle q \rangle k^2} \left[ \frac{\langle p + 2q \rangle}{\langle p + q \rangle} (\delta_{ij} - \gamma_{ij})(\delta_{rs} - \gamma_{rs}) - \right. \\ \left. - (\delta_{ir} - \gamma_{ir})(\delta_{js} - \gamma_{js}) - (\delta_{jr} - \gamma_{jr})(\delta_{is} - \gamma_{is}) \right]. \quad (9)$$

Розв'язок рівнянь (4) представимо у формі інтегральної згортки:

$$\sigma'_{ij}(x) = \int G_{ijrs,mk}(x - \hat{x}) e_{rkp} e_{smq} f_{pq}(\hat{x}) d\hat{V} + \\ + \int G_{ijrs,m}(x - \hat{x}) e_{rkp} e_{smq} \hat{N}_k f_{pq}(\hat{x}) d\hat{S} \quad (10)$$

або

$$\sigma'_{ij} = \Gamma_{ij\alpha\beta}^* f_{\alpha\beta}; \\ f_{\alpha\beta} = e_{akp} e_{\beta mq} [\xi'_{pqrs} \sigma_{rs} + A_{2\hat{\sigma}}^{\alpha}(\sigma) \eta_{pqrs} \sigma_{rs}]. \quad (11)$$

Скористаємося методом умовних моментних функцій [4]. Для цього осереднимо рівняння (11) за умови, що координата-аргумент лівої частини рівняння знаходиться в об'ємі  $V_1$ , який містить включення:

$$\langle \sigma | 1 \rangle = \langle \sigma \rangle + \sum_{i=1}^2 \Gamma^* \langle f | i, 1 \rangle p_{1i}, \quad (12)$$

де  $p_{1i}$  – умовні імовірності переходу з 1 в  $i$  компоненту;  $\langle f | i, 1 \rangle$  – умовні моментні функції,

$$\langle f | i, 1 \rangle = \langle f(\hat{x}) | \hat{x} \in V_i, x \in V_1 \rangle. \quad (13)$$

У наближенні однорідності напруженого стану в матриці і включеннях, а саме:

$$\langle f | i, 1 \rangle = \langle f(\hat{x}) | \hat{x} \in V_i \rangle \quad (14)$$

із (12) знайдемо

$$\langle \sigma | 1 \rangle = \langle \sigma \rangle + c_2 M \sum_{i=1}^2 (-1)^{i+1} \langle f | i \rangle, \quad (15)$$

де

$$\langle f | i \rangle = e \otimes e [\xi^{(i)} \langle \sigma | i \rangle + A_{2\hat{\sigma}}^{\alpha(i)} (\langle \sigma | i \rangle) \eta^{(i)} \langle \sigma | i \rangle]. \quad (16)$$

Виділимо в рівнянні (15) лінійну і нелінійну частини, щоб можна було скористатися методом послідовних наближень:

$$(I - M\xi_k) \langle \sigma | 1 \rangle = (I - M\xi^{(2)}) \langle \sigma \rangle + c_2 M \sum_{i=1}^2 (-1)^{i+1} A_{2\delta}^{\alpha(i)} \langle \sigma | i \rangle \eta^{(i)} \langle \sigma | i \rangle, \quad (17)$$

де

$$\xi_x = c_1 \xi^{(2)} + c_2 \xi^{(1)} - \langle \xi \rangle;$$

$$M_{ijpq} = \int G_{ijrs,km}(x) e_{rkp} e_{smq} \varphi(x) dV = \\ = -(2\pi)^{-3} e_{rkp} e_{smq} \int \int k_k k_m \hat{G}_{ijrs}(k) e^{ikx} \varphi(x) dV_x dV_k; \quad (18)$$

$\varphi(x)$  – кореляційна функція композитного середовища.

Домножимо рівняння (16) на тензор  $(I - M\xi_x)^{-1}$  і в результаті отримаємо

$$\langle \sigma | 1 \rangle = (I + c_2 Q \xi^{(3)}) \langle \sigma \rangle + c_2 Q \sum_{i=1}^2 (-1)^{i+1} A_{2\delta}^{\alpha(i)} \langle \sigma | i \rangle \eta^{(i)} \langle \sigma | i \rangle; \quad (19)$$

$$Q = (I - M\xi_x)^{-1} M.$$

Осереднимо визначальне співвідношення (1) в припущенні, що напружений стан включень і матриці є однорідним. Тоді, враховуючи (19), матимемо

$$\langle \xi \rangle = \xi^* \langle \sigma \rangle + c_1 c_2 \xi^{(3)} Q \sum_{i=1}^2 (-1)^{i+1} A_{2\delta}^{\alpha(i)} \eta^{(i)} \langle \sigma | i \rangle + \\ + \sum_{i=1}^2 c_1 A_{2\delta}^{\alpha(i)} \eta^{(i)} \langle \sigma | i \rangle = \xi^* \langle \sigma \rangle + \sum_{i=1}^2 c_i B_{(1)}^{T(i)} A_{2\delta}^{\alpha(i)} \eta^{(i)} \langle \sigma | i \rangle, \quad (20)$$

де

$$B_{(1)}^{(i)} = I + (-1)^{i+1} (1 - c_i) Q \xi^{(3)}; \quad B_{(1)}^{T(i)} = I + (-1)^{i+1} (1 - c_i) \xi^{(3)} Q. \quad (21)$$

Якщо використати представлення

$$A_{2\delta} \langle \sigma | i \rangle = \langle \sigma_{pq} | i \rangle \langle \sigma_{pq} | i \rangle - \frac{1}{3} \langle \sigma_{pq} | i \rangle^2 = \sum_{m=1}^5 \alpha_m^{(i)} P_m \quad (22a) \\ (p, q = 1, 2, 3);$$

$$\begin{cases} P_1 = \langle \sigma_{\beta\beta} \rangle^2; & P_2 = \langle \sigma_{\beta\beta} \rangle \langle \sigma_{33} \rangle; \\ P_3 = \langle \sigma_{33} \rangle^2; & P_4 = \langle \sigma_{\alpha\beta} \rangle \langle \sigma_{\alpha\beta} \rangle; \\ P_5 = \langle \sigma_{\alpha\beta} \rangle \langle \sigma_{3\alpha} \rangle & (\alpha, \beta = 1, 2), \end{cases} \quad (226)$$

то з (20) отримаємо наступний вираз:

$$\langle \xi \rangle = \xi^* \langle \sigma \rangle + \sum_{i=1}^2 c_i \left( \sum_{m=1}^5 \alpha_m^{(i)} P_m \right)^{N-1/2} B_{(1)}^{T(i)} \eta^{(i)} B_{(n)}^{(i)} \langle \sigma \rangle. \quad (23)$$

Тензор  $B_{(n)}^{(i)}$  знаходиться в результаті ітераційного процесу, який можна задати формулою

$$B_{(n+1)}^{(i)} = B_{(n)}^{(i)} + (-1)^{i+1} (1 - c_i) \sum_{v=1}^2 (-1)^{v+1} A_{2\delta(n)}^{\alpha(v)} \eta^{(v)} B_{(n)}^{(v)}. \quad (24)$$

Якщо в'язкопружні властивості має тільки матриця, що, як правило, спостерігається в реальних композитах, то отримані формули можна спростити:

$$\begin{aligned} \langle \xi \rangle &= \xi^* \langle \sigma \rangle + c_2 \left( \sum_{m=1}^5 \alpha_{m(n)}^{(2)} P_m \right)^{N-1/2} B_{(1)}^{T(2)} \eta^{(2)} B_{(n)}^{(2)} \langle \sigma \rangle; \\ B_{(n+1)}^{(2)} &= B_{(1)}^{(2)} + c_1 A_{2\delta(n)}^{\alpha(2)} \eta^{(2)} B_{(n)}^{(2)}. \end{aligned} \quad (25)$$

Перейдемо тепер до безпосереднього обчислення складових наведених вище тензорів і розрахунку напружено-деформованого стану компонентів матеріалу.

Для композита, армованого односпрямованими еліпсоїдальними включеннями, кореляційна функція задається виразом [5, 7]

$$\begin{aligned} p_{1n,1n} &= c_{1n} + (1 - c_{1n}) \exp[-(n_1^2 \rho^2 + n_2^2 y_3^2)^{1/2}]; \\ n_i &= [\kappa_i]^{-1}, \end{aligned} \quad (26)$$

де  $\kappa_1 = \kappa_2, \kappa_3$  – розміри півосей еліпсоїдальних включень у поперечному і поздовжньому напрямках.

Проінтегруємо співвідношення (18) за умови, що Фур'є-образ функції Гріна рівнянь сумісності відомий (9). При переході до нової системи координат  $y_i$ , в якій вісь  $y_3$  збігається з  $n$ -напрямком включень, отримаємо в явному вигляді складові тензора  $M$ :

$$k_M = \frac{a}{4}(1 + 3j_1 - j_3) + 2bj_1; \quad l_M = \frac{a}{2}(j_2 + j_3) + bj_2; \quad (27a)$$

$$m_M = \frac{a}{8}(j_2 - j_3) - bj_1; \quad n_M = a(j_2 - j_3); \quad p_M = \frac{a}{2}j_3 - \frac{b}{2}j_2, \quad (276)$$

де

$$a = -\frac{\langle p + 2q \rangle}{4\langle q \rangle \langle p + q \rangle}; \quad b = \frac{1}{4\langle q \rangle}; \quad (28)$$

коефіцієнти  $j_1, j_2, j_3$  залежать від співвідношення розмірів головних півосей армуючих включень  $\kappa = \kappa_3/\kappa_1$ .

Згідно з (19), (27) тензор  $Q$  матиме наступні складові:

$$\begin{aligned} k_Q &= \frac{1}{2\Delta_2}[k_M - \Delta_M(p_x + 2q_x)]; & l_Q &= l_Q^T = \frac{1}{2\Delta_2}[l_M - 2\Delta_M p_x]; \\ m_Q &= m_M(1 - 4q_x m_x)^{-1}; & n_Q &= \frac{1}{2\Delta_2}[n_M - 4\Delta_M(p_x + q_x)]; \\ p_Q &= p_M(1 - 4p_x p_M); & \Delta_M &= k_M n_M - l_M^2; \\ 2\Delta_2 &= 1 - 4l_M p_x - 4k_M(p_x + q_x) - n_M(p_x + 2q_x) + 4q_x(3p_x + 4q_x)\Delta_M. \end{aligned} \quad (29)$$

Складові тензора приведених в'язкопружних податливостей лінійно-в'язкопружного матеріалу, армованого еліпсоїдальними включеннями, знайдемо з формул

$$\left\{ \begin{aligned} \xi^* &= \langle \xi \rangle + \xi^{(3)} Q \xi^{(3)}; \\ k_\xi^* &= \langle p + q \rangle + c_2 c_1 [4k_Q(p^{(3)} + q^{(3)})^2 + \\ &\quad + 4l_Q p^{(3)}(p^{(3)} + q^{(3)}) + n_Q p^{(3)2}]; \\ l_\xi^* &= \langle p \rangle + c_1 c_2 [2l_Q(2p^{(3)2} + 3p^{(3)}q^{(3)} + 2q^{(3)2}) + \\ &\quad + n_Q p^{(3)}(p^{(3)} + 2q^{(3)}) + 4k_Q p^{(3)}(p^{(3)} + q^{(3)})]; \\ m_\xi^* &= \langle q \rangle + 4c_1 c_2 q^{(3)2} m_Q; \\ n_\xi^* &= \langle p + 2q \rangle + c_1 c_2 [n_Q(p^{(3)} + 2q^{(3)})^2 + \\ &\quad + 4l_Q p^{(3)}(p^{(3)} + 2q^{(3)}) + 4k_Q p^{(3)2}]; \\ p_\xi^* &= \langle q \rangle + 4c_1 c_2 q^{(3)2} p_Q; \\ p^{(3)} &= p^{(1)} - p^{(2)}; \\ q^{(3)} &= q^{(1)} - q^{(2)}. \end{aligned} \right. \quad (30)$$

Аналоги технічних параметрів: модулі Юнга, коефіцієнти Пуассона, модулі зсуву трансверсально ізотропного композита, армованого еліпсоїдальними частинками, виражаються через складові тензора  $\xi^*$ :

$$\begin{aligned}
 E_1^* &= \frac{1}{k_\xi^* + m_\xi^*}; & E_3^* &= \frac{1}{n_\xi^*}; & \nu_{13}^* &= -l_\xi^* (n_\xi^*)^{-1}; \\
 G_{12}^* &= (4m_\xi^*)^{-1}; & G_{13}^* &= (4p_\xi^*)^{-1}; & \nu_{12}^* &= \frac{E_1^*}{2G_{12}^*} - 1.
 \end{aligned}
 \tag{31}$$

Середні напруження в компонентах обчислюються за допомогою тензорів  $B_{(1)}^{(i)}$  ( $i=1, 2$ ), складові яких згідно з (21) представимо у вигляді

$$\begin{cases}
 k_{B(1)}^{(i)} = \frac{1}{2} + (-1)^{i+1}(1 - c_i)[2k_Q(p^{(3)} + q^{(3)}) + l_Q p^{(3)}]; \\
 l_{B(1)}^{(i)} = (-1)^{i+1}(1 - c_i)[2k_Q p^{(3)} + l_Q(p^{(3)} + 2q^{(3)})]; \\
 l_{B(1)}^{T(i)} = (-1)^{i+1}(1 - c_i)[2l_Q(p^{(3)} + q^{(3)}) + n_Q p^{(3)}]; \\
 m_{B(1)}^{(i)} = \frac{1}{2} + (-1)^{i+1}(1 - c_i)2m_Q q^{(3)}; \\
 n_{B(1)}^{(i)} = 1 + (-1)^{i+1}(1 - c_i)[2l_Q p^{(3)} + n_Q(p^{(3)} + 2q^{(3)})]; \\
 p_{B(1)}^{(i)} = \frac{1}{2} + (-1)^{i+1}(1 - c_i)2p_Q q^{(3)}.
 \end{cases}
 \tag{32}$$

При цьому коефіцієнти розкладу другого алгебраїчного інваріанта дев'яток середніх напружень компонентів (22) запишемо наступним чином:

$$\begin{cases}
 \alpha_{1(1)}^{(i)} = \frac{2}{3}[(l_{B(1)}^{T(i)} - l_{B(1)}^{(i)})^2 - 3m_{B(1)}^{(i)2}]; \\
 \alpha_{2(1)}^{(i)} = \frac{4}{3}[(l_{B(1)}^{T(i)} - k_{B(1)}^{(i)})(n_{B(1)}^{(i)} - l_{B(1)}^{(i)})]; \\
 \alpha_{3(1)}^{(i)} = \frac{2}{3}(n_{B(1)}^{(i)} - l_{B(1)}^{(i)})^2; & \alpha_{4(1)}^{(i)} = 4m_{B(1)}^{(i)2}; & \alpha_{5(1)}^{(i)} = 8p_{B(1)}^{(i)2}; \\
 B_{(1)}^{(i)}(k_{B(1)}^{(i)}, l_{B(1)}^{(i)}, m_{B(1)}^{(i)}, n_{B(1)}^{(i)}, p_{B(1)}^{(i)}) & (i=1, 2).
 \end{cases}
 \tag{33}$$

Позначимо добуток тензорів у макроскопічних співвідношеннях (22) через

$$\begin{aligned}
 R_{(n)}^{(i)} &= B_{(1)}^{T(i)} D B_{(n)}^{(i)}; \\
 D_{ij\alpha\beta} &= \frac{1}{2}(\delta_{i\beta}\delta_{j\alpha} - \delta_{i\alpha}\delta_{j\beta} - \frac{2}{3}\delta_{ij}\delta_{\alpha\beta}).
 \end{aligned}
 \tag{34}$$

Тоді отримаємо

$$\langle \varepsilon \rangle_{(n+1)} = \xi^* \langle \sigma \rangle + \sum_{i=1}^2 c_i r^{(i)} A_{2\sigma}^{\alpha(i)} (\langle \sigma | i \rangle) R_{(n)}^{(i)} \langle \sigma \rangle;
 \tag{35a}$$

$$A_{2\delta}^{\alpha(i)} = \left( \sum_{m=1}^s \alpha_{m(n)}^{(i)} P_m \right)^\alpha, \quad (356)$$

причому  $R_{(n)}^{(i)}$  має наступні складові:

$$\begin{aligned} k_{R(n)}^{(i)} &= \frac{2}{3}(k_{B(n)}^{(i)} - 2l_{B(n)}^{T(i)})(k_{B(n)}^{(i)} - l_{B(n)}^{T(i)}); \\ l_{R(n)}^{(i)} &= \frac{2}{3}(k_{B(n)}^{(i)} - l_{B(n)}^{(i)})(l_{B(n)}^{(i)} - n_{B(n)}^{(i)}); \\ m_{R(n)}^{(i)} &= 2m_{B(n)}^{(i)2}; \quad n_{R(n)}^{(i)} = \frac{2}{3}(l_{B(n)}^{(i)} - n_{B(n)}^{(i)})^2; \quad p_{R(n)}^{(i)} = 2p_{B(n)}^{(i)2}, \end{aligned} \quad (36)$$

де індексом  $(n)$  позначено порядок наближення (24).

У розгорнутій формі запису маємо

$$\begin{aligned} B_{(n+1)}^{(i)} &= B_{(1)}^{(i)} + (-1)^{i+1}(1 - c_1) \sum_{v=1}^2 (-1)^{v+1} r^{(v)} A_{2\delta}^{\alpha(v)} \beta_{(n)}^{(v)}; \\ \beta_{(n)}^{(v)} &= QDB_{(n)}^{(v)} \quad (n = 1, 2, 3, \dots), \end{aligned} \quad (37)$$

причому

$$\begin{aligned} k_{\beta(n)}^{(i)} &= \frac{2}{3}(k_Q - 2l_Q)(k_{B(n)}^{(i)} - l_{B(n)}^{T(i)}); \quad l_{\beta(n)}^{(i)} = \frac{2}{3}(k_Q - l_Q)(l_{B(n)}^{(i)} - n_{B(n)}^{(i)}); \\ m_{\beta(n)}^{(i)} &= 2m_Q m_{B(n)}^{(i)}; \quad n_{\beta(n)}^{(i)} = \frac{2}{3}(l_Q - n_Q)(l_{B(n)}^{(i)} - n_{B(n)}^{(i)}); \\ p_{\beta(n)}^{(i)} &= \frac{2}{3}(l_Q - n_Q)(l_{B(n)}^{(i)} - n_{B(n)}^{(i)}) \quad (i = 1, 2; n = 1, 2, 3, \dots). \end{aligned} \quad (38)$$

Отримані співвідношення значно спрощуються, якщо на матеріал діють одновимірні макроскопічні навантаження, що має місце, наприклад, при дослідному визначенні діаграм деформування.

Нехай відмінні від нуля тільки зовнішні навантаження  $\langle \sigma_{33} \rangle \neq 0$ . У цьому випадку

$$A_{2\delta(n)}^{(i)} = \alpha_{3(n)}^{(i)} \langle \sigma_{33} \rangle^2 = \frac{2}{3}(n_{B(n)}^{(i)} - l_{B(n)}^{(i)})^2 \langle \sigma_{33} \rangle, \quad (39)$$

і макроскопічний закон буде наступним:

$$\langle \varepsilon_{33} \rangle = n^* \langle \sigma_{33} \rangle + \sum_{i=1}^2 c_i r^{(i)} (n_{B(n)}^{(i)} - l_{B(n)}^{(i)})^{N+1} \left( \frac{2}{3} \right)^{(N+1)/2} \langle \sigma_{33} \rangle^N. \quad (40)$$



Окрім того, матеріал розтягується упоперек включень  $\langle \sigma_{11} \rangle \neq 0$ . Тоді запишемо

$$A_{2\delta(n)}^{(i)} = \frac{2}{3} [(l_{B(n)}^{(i)} - k_{B(n)}^{(i)})^2 + 3m_{B(n)}^{(i)2}] \langle \sigma_{11} \rangle^2 \quad (41)$$

і, як наслідок,

$$\begin{aligned} \langle \varepsilon_{11} \rangle = & (k_{\xi}^* + m_{\xi}^*) \langle \sigma_{11} \rangle + \sum_{i=1}^2 c_i r^{(i)} \left(\frac{2}{3}\right)^{(N+1)/2} [(l_{B(n)}^{(i)} - k_{B(n)}^{(i)})^2 + \\ & + 3m_{B(n)}^{(i)2}]^{(N-1)/2} [(k_{B(n)}^{(i)} - 2l_{B(n)}^{(i)})(k_{B(n)}^{(i)} - l_{B(n)}^{T(i)}) + 3m_{B(n)}^{(i)2}] \langle \sigma_{11} \rangle^N. \end{aligned} \quad (42)$$

Якщо композитний матеріал знаходиться в стані макроскопічного чистого зсуву упоперек включень  $\langle \sigma_{12} \rangle \neq 0$ , то

$$\begin{cases} A_{2\delta(n)}^{(i)} = 8m_{B(n)}^{(i)} \langle \sigma_{12} \rangle^2; \\ \langle \varepsilon_{12} \rangle = 2m_{\xi}^* \langle \sigma_{12} \rangle + (2)^{(N-1)/2} \sum_{i=1}^2 c_i r^{(i)} (2m_{B(n)}^{(i)})^{N+1} \langle \sigma_{12} \rangle^N; \\ \alpha^{(1)} = \alpha^{(2)} = \frac{N-1}{2} \quad (n=1, 2, 3, \dots). \end{cases} \quad (43)$$

Нехай на матеріал діють макроскопічні напруження поздовжнього зсуву  $\langle \sigma_{13} \rangle \neq 0$ , при цьому

$$\begin{aligned} A_{2\delta(n)}^{(i)} &= 8p_{B(n)}^{(i)2} \langle \sigma_{13} \rangle^2; \\ \langle \varepsilon_{13} \rangle &= 2p_{\xi}^* \langle \sigma_{13} \rangle + (2)^{(N-1)/2} \sum_{i=1}^2 c_i r^{(i)} (2p_{B(n)}^{(i)})^{N+1} \langle \sigma_{13} \rangle^N. \end{aligned} \quad (44)$$

Якщо навантаження відбувається під кутом до осі армування, то можна поступити наступним чином. Нехай навантаження прикладене вздовж осі  $x_1$ ,  $\langle \sigma_{11} \rangle \neq 0$ , а включення орієнтовані вздовж осі  $y_3$ , причому одиничні орти двох систем координат пов'язані перетворенням повороту в площині  $x_1x_3$ :

$$\begin{aligned} \bar{e}_i^y &= a_{im} \bar{e}_m^x; \\ \|a_{im}\| &= \begin{vmatrix} \cos \varphi & \sin \varphi \\ -\sin \varphi & \cos \varphi \end{vmatrix}, \end{aligned} \quad (45)$$

причому

$$\begin{aligned} \sigma_{ij}^y &= a_{im} a_{jn} \sigma_{mn}^x; \\ \langle \sigma_{11}^y \rangle &= \langle \sigma_{11}^x \rangle \cos^2 \varphi = t_1; \quad \langle \sigma_{22}^y \rangle = \langle \sigma_{11}^x \rangle \sin^2 \varphi = t_2; \\ \langle \sigma_{13}^y \rangle &= -\langle \sigma_{11}^x \rangle \cos \varphi \sin \varphi = t_4, \end{aligned} \quad (46)$$

звідки в системі координат  $y$  знаходимо

$$\left\{ \begin{aligned} & A_{2\hat{\sigma}}^{(i)} = \alpha_{1(n)}^{(i)} t_1^2 + \alpha_{2(n)}^{(i)} t_1 t_3 + \alpha_{3(n)}^{(i)} t_3^2 + \alpha_{5(n)}^{(i)} t_4^2 ]; \\ & \langle \varepsilon_{11}^y \rangle = (k_{\xi}^* + m_{\xi}^*) t_1 + l_{\xi}^* t_3 + \sum_{i=1}^2 c_i r^{(i)} A_{2\hat{\sigma}}^{(i)(N-1)/2} [(k_{R(n)}^{(i)} + \\ & + m_{R(n)}^{(i)}) t_1 + l_{R(n)}^{(i)} t_3 ]; \\ & \langle \varepsilon_{33}^y \rangle = l_{\xi}^* t_1 + n_{\xi}^* t_3 + \sum_{i=1}^2 c_i r^{(i)} A_{2\hat{\sigma}}^{(i)(N-1)/2} (l_{R(n)}^{(i)} t_1 + n_{R(n)}^{(i)} t_3 ); \\ & \langle \varepsilon_{13}^y \rangle = 2p_{\xi}^* t_1 + 2 \sum_{i=1}^2 c_i r^{(i)} A_{2\hat{\sigma}}^{(i)(N-1)/2} p_{R(n)}^{(i)} t_4; \\ & \alpha^{(1)} = \alpha^{(2)} = \frac{N-1}{2} \quad (n=1, 2, 3, \dots). \end{aligned} \right. \quad (47)$$

Експериментальні дослідження показують, що руйнування композита, як правило, починається з руйнування одного з компонентів. Щоб оцінити характеристики міцності матеріалу, необхідно ввести коефіцієнти концентрації напружень у компонентах, які визначаються рівняннями:

$$K_{\sigma}^{(i)} = \frac{(\langle \hat{\sigma}_{pq} | i \rangle < \hat{\sigma}_{pq} | i \rangle)^{1/2}}{(\langle \hat{\sigma}_{pq} \rangle < \hat{\sigma}_{pq} \rangle)^{1/2}}. \quad (48)$$

З (39), (41), (43), (44) випливає, що при дії одновимірних макроскопічних навантажень коефіцієнти концентрації напружень у компонентах можна представити формулами

$$\left\{ \begin{aligned} & K_{\sigma 33}^{(i)} = |n_{B(n)}^{(i)} - l_{B(n)}^{(i)}|; \\ & K_{\sigma 11}^{(i)} = [(l_{B(n)}^{(i)} - k_{B(n)}^{(i)})^2 + 3m_{B(n)}^{(i)2}]^{1/2} \quad K_{\sigma 13}^{(i)} = 2|p_{B(n)}^{(i)}|; \\ & K_{\sigma 12}^{(i)} = 2|m_{B(n)}^{(i)}|. \end{aligned} \right. \quad (49)$$

Як приклад наведемо результати розрахунку приведених характеристик в'язкопружного деформування композита, утвореного епоксидною смолою і скляними включеннями, і порівняємо їх з експериментальними даними. В'язкі характеристики матриці описуються за допомогою дробово-експоненціальної функції Работнова зі сталими коефіцієнтами  $\xi = 0,0564 \text{ год}^{-1/2}$ ;  $\alpha = -0,5$ ;  $\beta = -0,1764 \text{ год}^{-1/2}$ .

Рис. 1 ілюструє залежність операторних модулів зсуву та Юнга від часу. На рис. 2 приведено графік в'язкопружного деформування композита (концентрація наповнювача  $c_1 = 0,6$ ) при поздовжньому розтязі за формулою (40).

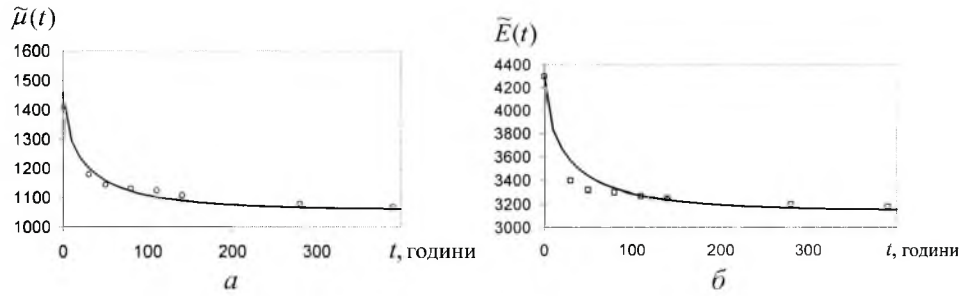


Рис. 1. Залежність модуля зсуву ( $a$ ) і модуля Юнга ( $b$ ) епоксидної смоли від часу. (Точки – експериментальні дані.)

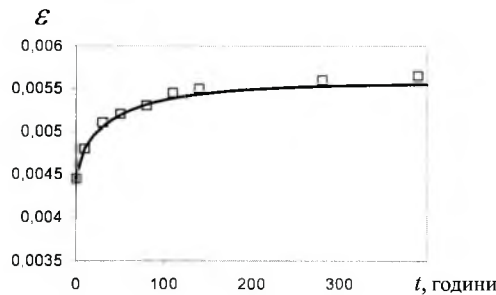


Рис. 2. Крива повзучості епоксидної смоли, армованої скляними включеннями. (Точки – експериментальні дані [11].)

## Висновки

1. Запропоновано метод дослідження приведених характеристик та концентрації середніх напружень у включеннях та матриці в залежності від часу.
2. Макроскопічні параметри, що визначаються в рамках цієї теорії, є функціями в'язкопружних характеристик компонентів, їх об'ємних концентрацій та параметрів початкового напружено-деформованого стану і армуючих елементів.

## Резюме

Приводится решение задачи по оценке концентрации напряжений в компонентах (матрица и включения) многокомпонентного вязкоупругого композитного материала в зависимости от формы включений, свойств матрицы и всего композита. Материал матрицы является изотропным и вязкоупругим. Рассматривается широкий диапазон свойств включений (например, пор, твердых и вязких частиц). Для решения данной задачи используется метод интегральных преобразований.

1. Маслов Б. П., Ляшенко Я. Г. Эффективные характеристики ползучести многокомпонентных материалов // Теорет. и прикл. механика. – 2001. – Вып. 33. – С. 40 – 45.

2. *Kaminski A. A. and Gavrilov G. V.* Delayed fracture of an aging viscoelastic composite under plane strain // *Int. Appl. Mech.* – 2002. – **38**, No. 2. – P. 181 – 187.
3. *Новиков Н. В., Майстренко А. Л., Кулаковский В. Н.* Сопротивление разрушению сверхтвердых композиционных материалов. – Киев: Наук. думка, 1993. – 220 с.
4. *Хорошун Л. П.* Метод условных моментов в задачах механики композитных материалов // *Прикл. механика.* – 1987. – **23**, № 10. – С. 100 – 108.
5. *Маслов Б. П.* Концентрация напряжений в несжимаемом многокомпонентном материале // Там же. – 2000. – **36**, № 3. – С. 108 – 114.
6. *Molchanov I. N., Levchenko I. S., Fedorchuk N. N., et al.* Numerical simulation of the stress concentration in an elastic half-space with a two-layer inclusion // *Int. Appl. Mech.* – 2002. – **38**, No. 3. – P. 308 – 314.
7. *Маслов Б. П., Рушицкий Я. Я., Коваленко А. П.* Полные наборы физических постоянных нелинейной микроструктурной теории двухфазной упругой смеси, вычисленные для ряда конструкционных материалов // *Прикл. механика.* – 1996. – **32**, № 4. – С. 18 – 26.
8. *Guz A. N., Maksimyuk V. A., and Chernyshenko I. S.* Numerical stress-strain analysis of shells including the nonlinear and shear properties of composites // *Int. Appl. Mech.* – 2002. – **38**, No. 10. – P. 1220 – 1228.
9. *Babich I. Yu. and Guz A. N.* Stability of composite structure members (three-dimensional formulation) // *Ibid.* – No. 9. – P. 1048 – 1075.
10. *Работнов Ю. Н.* Элементы наследственной механики твердых тел. – М.: Наука, 1977. – 384 с.
11. *Megnig M. and Varna J.* Micromechanics based modeling of nonlinear viscoplastic response of unidirectional composite // *Compos. Sci. Tech.* – 2003. – **63**. – P. 19 – 31.

Поступила 05. 04. 2004